

VI-17

## 高炉スラグ系微粒子の注入と硬化性能に関する研究

太平工業㈱ 正 荒 精一  
 (鉄道総合技術研究所) 正 小林 明夫  
 新日本製鐵㈱ 正 沼田 晋一  
 新日本製鐵㈱ 長尾 由一

## 1. はじめに

従来セメント系注入材料による注入工法では、一般にひびわれ幅2mm以上が対象とされ、それ以下のひびわれ幅に対しては、粒径上の制約等で困難であるとされていた。しかし、素材を超微粉碎した高炉スラグ系微粒子材(以下B材という)は、エポキシ樹脂とほぼ同等の注入充填性能があることを、モデル実験を通して確認でき、注入材料として適応できることは既に報告した。<sup>(1)</sup>

今回の報告は、このB材を使用して実際の構造物のひびわれ補修に適用し、この材料の注入性能と硬化性状について、試験を行ったものに関するものである。

## 2. 補修構造物の概要

構造物は昭和47年に竣工し、補修時に14年経過した無筋コンクリート構造物である。なお、建設時のコンクリートの配合は不明である。表-2に構造物コンクリートのコア試験の結果を示す。

## 3. 試験概要

## 3-1. 補修方法

全てのひびわれに対して、B材を注入圧力3kgf/cm<sup>2</sup>以下、注入間隔30cm程度で充填した。注入後、浸透性塗布剤(0.4ℓ/m<sup>3</sup>)を塗布した。

## 3-2. 試験方法

注入後3日目に、φ10cm×50cmのコアを3本採取し、各々の条件に従って試験を行った。また比較のため、注入前にφ10cm×150cmのコアを2本採取し、同様の試験も行った。コアの主な試験条件、試験方法を表-3、表-4に示す。

## 4. 試験結果と考察

## 4-1. 採取コアによる注入状況の観察

注入後採取したN0.1、2、3コア(ℓ=50cm)による

注入状況の観察は、各コアの側面と各切断面とで行った。その結果、何れのコアにおいても、注入材が骨材のひびわれとその周辺の微細なひびわれまで、密に充填されていることが確認できた。

表-1 B材の品質、性能

試験項目		数値	試験方法
流動性(秒)	12	土木学会規準F-1	
単位体積重量(kg/l)	1.7		
強度(kgf/cm <sup>2</sup> )	材令1日	曲げ 1.9 圧縮 5.2	JIS R 5201
	材令3日	曲げ 3.6 圧縮 17.0	
	材令7日	曲げ 4.9 圧縮 28.9	
	材令28日	曲げ 6.5 圧縮 40.2	
		付着強度(kgf/cm <sup>2</sup> ) 48.8	
		ブリージング率(%) 0.8	
		注入性能 全量通過 400ℓが0.1mm網通過	
		可使用時間(分) 60	
		(備) 水結合材比は60%である。	

表-2 コア試験結果

項目	数値
コアの圧縮強度	21.2kgf/cm <sup>2</sup>
動弾性係数	1.42×10 <sup>5</sup> kgf/cm <sup>2</sup>
静弾性係数	1.13×10 <sup>5</sup> kgf/cm <sup>2</sup>
中性化深度	20.95mm
塩化物含有量	0.74kg/m <sup>3</sup>
コンクリートの配合推定	C=394kg/m <sup>3</sup> , G+S=1300kg/m <sup>3</sup> W=154kg/m <sup>3</sup> , W/C=39.2%
粗骨材岩石構成	砂岩43%, チャート24% 凝灰岩12%, 溶結凝灰岩11%
コンクリート表面のひびわれ	0.1~5.0mm, 320m/80m

表-3 各コアの試験条件

コア番号	N0.1	N0.2	N0.3	N0.4	N0.5
注入条件	注入	注入	注入	無注入	無注入
表面塗布剤	無塗布	無塗布	塗布	無塗布	無塗布
養生条件	40℃RH100%	屋外暴露	屋外暴露	40℃RH100%	40℃RH100%

表-4 各コアの試験方法

項目	試験方法
長さ変化試験	JIS A 1129 40℃RH100%
超音波試験	ASTM C 597に準じ、バンジットにて測定
界面観察	岩石顕微鏡, SEM

(備) 測定間隔は0°, 1°, 2°, 3°, 4°, 6°, 8°, 12°, 16°, 20°, 24°とした。

#### 4-2. 岩石顕微鏡による注入状況及びひびわれ界面観察

注入界面の状態を、写真-1に示す。この写真は、ひびわれ幅約0.4mm部分にB材が充填されている所で、太い斜めの部分が注入材の硬化体である。この硬化体中には、白く針状のエトリンガイトと思われる水和物と、黒く丸い空隙部分が確認できる。また、コンクリートとの界面においては、水和物ができているようであり、さらにこの部分を走査電子顕微鏡により分析すると、写真-2、表-5に示すような結果となった。このことから、B材とコンクリートが一体化しているようであり、B材と、ポルトランドセメント硬化体の中間的なものになっていることがわかる。これは、B材の石灰分がコンクリート部分に、コンクリートのアルカリ分が、B材の方に移動しているような界面構成になっているためと考えられる。

#### 4-3. 長さ変化及び超音波伝播速度

図-2に示すように、促進養生をしたN0.1,4,5のコアにおいては、注入前後の伸び量の差がみられず、ほぼ同じ値を示した。一方、超音波による伝播速度に関しては、図-3に示すように著しい差はみられなかった。このことは、コアコンクリートの膨張性が、極めて小さかったことを示している。

次に、屋外暴露したコアでは、表面塗布をしたN0.3のコアは、材令12週まで膨張傾向を示さないが、その後は未塗布のN0.2のコアと、同様な長さ変化の傾向を示した。

#### 5.まとめ

高炉スラグ系微粒子材は、実構造物においても2mm以下のひびわれ注入に用いることができ、しかも、注入性が良いために奥行きのあるひびわれに対してても、十分低圧で充填が可能であった。また、注入前後のコアによる長さ変化、超音波伝播速度の明確な差は認められなかつたが、注入材とコンクリート界面で注入材の水和物が、下地コンクリートからの溶解性アルカリより形成されていることが、岩石顕微鏡観察から確認できた。またその界面は、剝離状態ではなく、コンクリート面と注入材が、水和物によりある程度一体化している傾向もみられた。

参考文献 (1) 土木学会第41回年次講演会概要集 V-92

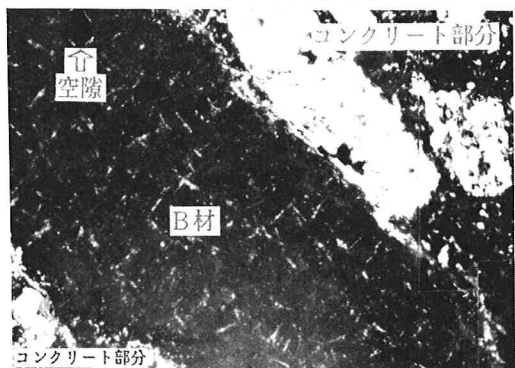
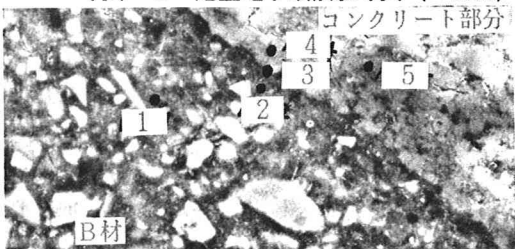
写真-1 岩石顕微鏡写真 ( $\times 100$ )写真-2 走査電子顕微鏡写真 ( $\times 1000$ )

表-5 SEMによる成分分析結果

測定点	成 分	SiO <sub>2</sub>	CaO	Na <sub>2</sub> O	K <sub>2</sub> O
1(B材部分)		32.20	47.30	1.62	0.44
2(B材部分)		31.30	51.74	検出せず	0.16
3(界面部分)		42.87	41.08	2.22	0.31
4(コンクリート部分)		63.08	6.48	11.15	検出せず
5(コンクリート部分)		62.49	4.43	12.89	0.28

